

УДК 539.213:621.317

ИССЛЕДОВАНИЕ НЕЛИНЕЙНЫХ ЕМКОСТЕЙ В МОЩНЫХ СВЧ МОП ТРАНЗИСТОРАХ

© 2004 Б. К. Петров, П. А. Меньшиков, А. Н. Гашков, И. В. Семейкин, Ю. К. Николаенков

Воронежский государственный университет

В статье получены строгие аналитические выражения для расчета входной $C_{\text{вх}}$, выходной $C_{\text{вых}}$ и проходной $C_{\text{зс}}$ емкостей мощных СВЧ МОП транзисторов в зависимости от напряжения стока $U_{\text{ст}}$. Проведена экспериментальная проверка этих соотношений на примере отечественного мощного балансного транзистора мощностью 150 Вт, рабочей частотой 500 МГц и напряжением питания $U_{\text{пит}} = 28$ В. Расхождение теоретических данных с экспериментальными составляет не более 15 %.

ВВЕДЕНИЕ

В последнее время в передающей ВЧ и СВЧ аппаратуре начали широко использоваться мощные генераторные СВЧ МОП транзисторы. Данный класс транзисторов в отличие от биполярных транзисторов имеет коэффициент усиления по мощности $K_{\text{у}} (\geq 10$ раз) и не подвержен тепловому вторичному пробою. Одними из важных малосигнальных параметров МОП транзисторов являются встроенные (геометрические) емкости: емкость исток–затвор $C_{\text{из}}$, которая определяет входную емкость $C_{\text{вх}}$; проходная емкость затвор–сток $C_{\text{из}} (C_{\text{зс}})$; емкость исток–сток $C_{\text{ст}}$, которая определяет выходную емкость $C_{\text{вых}}$.

Параметры усилительных каскадов на МОП-транзисторе с общим истоком в значительной степени зависят от емкостей: входное сопротивление $Z_{\text{из}}$ — от входной емкости $C_{\text{вх}}$; коэффициент усиления по мощности $K_{\text{у}}$ — от проходной емкости $C_{\text{пр}} (C_{\text{зс}})$; рабочая полоса частот — от выходной емкости $C_{\text{вых}}$.

Расчет емкостей мощного СВЧ МОП транзистора позволит спрогнозировать и оптимизировать параметры транзисторной структуры непосредственно на этапе разработки.

Формулы для расчета емкостей, представленные в литературе [1, 2] имеют ряд существенных недостатков. Их нельзя назвать точными и универсальными, поскольку они содержат большое количество подгоночных коэффициентов. Отсутствуют так-

же зависимости емкостей от напряжения стока $U_{\text{ст}}$ и отсутствует сравнение рассчитанных значений $C_{\text{вх}}, C_{\text{вых}}, C_{\text{пр}}$ с измеренными значениями.

Целью настоящей работы является: получение строгих аналитических выражений для расчета емкостей (входной $C_{\text{пр}} (C_{\text{из}})$, выходной $C_{\text{вых}} (C_{\text{зс}})$ и проходной $C_{\text{зс}} (C_{\text{зс}})$) мощных СВЧ МОП транзисторов в зависимости от напряжения стока $U_{\text{ст}}$ и экспериментальная проверка этих соотношений на примере отечественного мощного балансного транзистора мощностью 150 Вт, рабочей частотой 500 МГц и напряжением питания $U_{\text{пит}} = 28$ В (на одно плечо).

МЕТОДИКА РАСЧЕТОВ

Расчет проходной емкости $C_{\text{зс}}$

Проходная емкость или емкость обратной связи $C_{\text{зс}} (C_{\text{зс}})$ измеряется между выводами затвор–сток при условии короткого замыкания по переменному току между истоком и затвором.

Емкость $C_{\text{зс}}$ состоит из: емкости $C_{\text{з конт площадок}}$ на толстом окисле SiO_2 $d_{\text{SiO}_2 \text{ толст}} = 1,8 \div 2$ мкм (см. рис. 1), емкости затворного окисла над n^- -областью истока между истоковыми p^- -ячейками — емкости затворных полосок $C_{\text{з полосок}}$.

Если контактные затворные площадки на толстом окисле находятся над диффузионными p -областями, соединенными с p^+ -истоковыми ячейками, тогда емкость $C_{\text{з конт площадок}} = 0$ (условие короткого замыкания по переменному току между истоком и затвором).

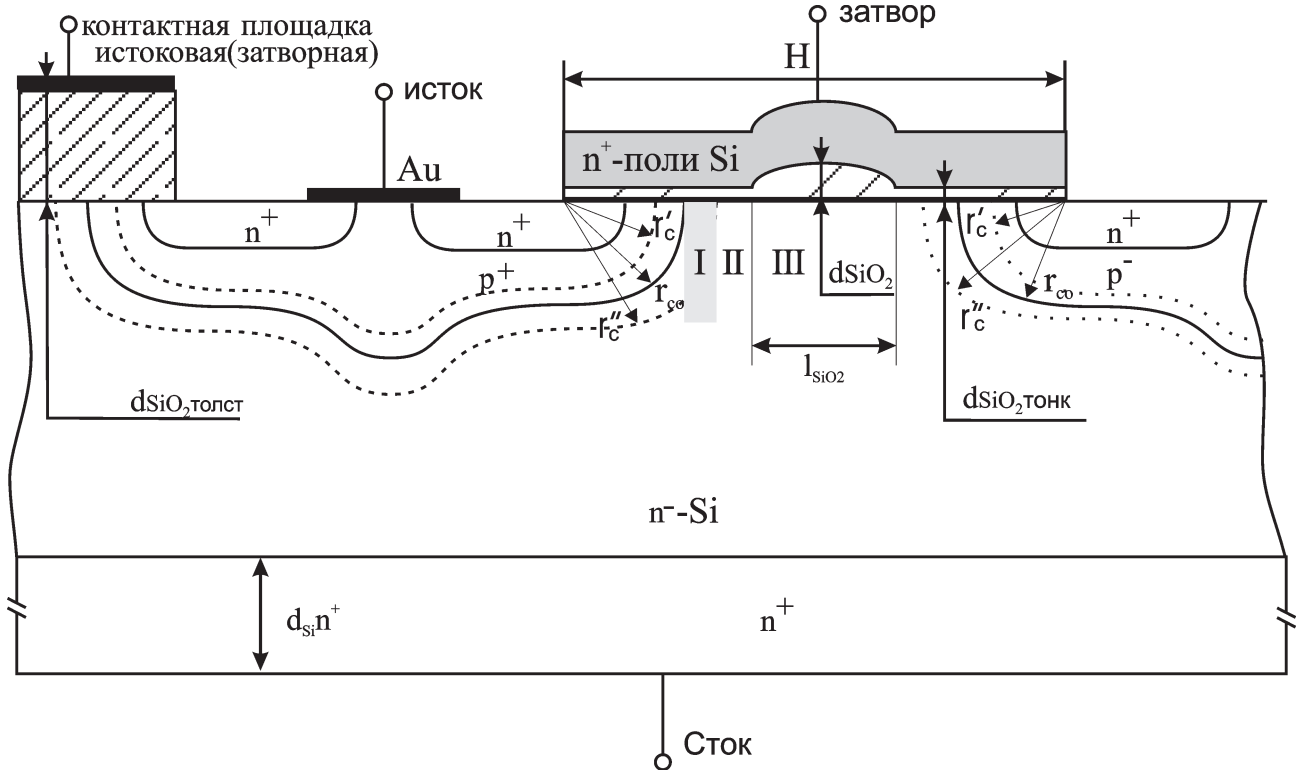


Рис. 1. Поперечное сечение мощного СВЧ МОП транзистора с вертикальной структурой

Остается вычислить емкость $C_{\text{запасок}}$ на окисле SiO_2 толщиной $d_{\text{SiO}_2} \approx 1 \text{ мкм}$ (рис. 1) с учетом наличия обедненного слоя из дононоров в боковых участках $p^+ - n$ переходов истоковых ячеек.

Уравнение Пуассона для цилиндрического $p^+ - n$ перехода в n^- -области имеет вид.

$$\frac{1}{r} \cdot \left[\frac{d}{dr} (r \cdot |E(r)|) \right] = -\frac{qNd_n}{\epsilon_{\text{Si}}\epsilon_0} \text{ при } (r_{\text{co}} = r = r_c'') \quad (1)$$

или

$$\frac{d}{dr} (r \cdot |E(r)|) = -r \cdot \frac{qNd_n}{\epsilon_{\text{Si}}\epsilon_0}. \quad (1^*)$$

Интегрируем правую и левую части уравнения (1*) в пределах от metallизированной границы r_{co} до r и находим напряженность поля.

$$|E(r)| = \frac{r_{\text{co}}}{r} \cdot |E(r_{\text{co}})| - \frac{1}{2} \left(r - \frac{r_{\text{co}}^2}{r} \right) \cdot \frac{qNd_n}{\epsilon_{\text{Si}}\epsilon_0}. \quad (2)$$

При $r = r_c''$ (граница $p^+ - n$ перехода с n^- -областью)

$$E(r'') = 0. \quad (3)$$

Следовательно, из (2) с учетом (3) получаем:

$$r_c'' = \sqrt{r_{\text{co}}^2 + \frac{2 \cdot \epsilon_{\text{Si}}\epsilon_0 \cdot r_{\text{co}}}{qNd_n} \cdot |E(r_{\text{co}})|}. \quad (4)$$

С помощью выражения (2) найдем падение напряжения на $p^+ - n$ цилиндрическом переходе

$$\begin{aligned} V_{\text{ic}} + \varphi_{\kappa} &= \int_{r_{\text{co}}}^{r_c''} |E(r)| dr = \\ &= \int_{r_{\text{co}}}^{r_c''} E(r_{\text{co}}) \frac{r_{\text{co}}}{r} dr - \int_{r_{\text{co}}}^{r_c''} \frac{1}{2} \cdot \left(r - \frac{r_{\text{co}}^2}{r} \right) \cdot \frac{qNd_n}{\epsilon_{\text{Si}}\epsilon_0} dr = \\ &= E(r_{\text{co}}) \cdot r_{\text{co}} \cdot \ln \left(\frac{r_c''}{r_{\text{co}}} \right) - \\ &\quad - \frac{1}{2} \frac{qNd_n}{\epsilon_{\text{Si}}\epsilon_0} \left[\frac{(r_c'')^2 - r_{\text{co}}^2}{2} - r_{\text{co}}^2 \cdot \ln \frac{r_c''}{r_{\text{co}}} \right]. \end{aligned} \quad (5)$$

Подставляя в формулу (5) выражение (4), получим трансцендентное уравнение для нахождения максимального поля $|E(r_{\text{co}})|$ через приложенное напряжение V_{ic} :

$$\begin{aligned} V_{\text{ic}} + \varphi_{\kappa} &= \left[E(r_{\text{co}})r_{\text{co}} + \frac{1}{2} \frac{qNd_n}{\epsilon_{\text{Si}}\epsilon_0} r_{\text{co}}^2 \right] \times \\ &\quad \times \ln \left(\sqrt{1 + \frac{2 \cdot \epsilon_{\text{Si}}\epsilon_0}{qNd_n \cdot r_{\text{co}}} |E(r_{\text{co}})|} \right) - \frac{1}{2} r_{\text{co}} |E(r_{\text{co}})|. \end{aligned} \quad (6)$$

Затем из уравнения (4) можно определить границу r_c'' истокового $p^+ - n$ перехода с n^- -областью.

Рассмотрим составляющие проходной емкости C_{sc} при различных напряжениях.

При небольших напряжениях $U_{\text{си}} \leq 1\text{ В}$, толщина обедненного слоя доноров (области пространственного заряда) в боковых частях $p^+ - n$ перехода исток-сток невелика ($r_c'' - r_{\text{co}}$) (область I на рис. 1). Емкость этой области C_I представляет собой емкость двухслойного конденсатора — тонкого окисла (толщиной $d_{\text{SiO}_2 \text{ тонк}} \leq 0,1 \text{ мкм}$, $\epsilon_{\text{SiO}_2} = 3,85$) и обедненного слоя (ОПЗ) в кремнии с $\epsilon_{\text{Si}} = 12$ и толщиной $D_{\text{опз}}$, и рассчитывается по формуле

$$C_I = \frac{\epsilon_{\text{SiO}_2} \epsilon_0 X_{\text{опз}} \cdot \Pi_{\text{k}} / 2}{d_{\text{SiO}_2 \text{ тонк}} \frac{\epsilon_{\text{Si}}}{\epsilon_{\text{SiO}_2}} + D_{\text{опз}}}, \quad (7)$$

где $X_{\text{опз}} = r_c'' - r_{\text{co}}$ — ширина обедненного слоя, $D_{\text{опз}} = r_{\text{co}} + L_{p-n \text{ плоск}}$ — высота обедненной области, увеличивающиеся с ростом напряжения. Π_{k} — периметр канала транзистора всех истоковых p^+ -ячеек. $L_{p-n \text{ плоск}}$ — ширина ОПЗ плоской части $p^+ - n$ перехода.

Область II на рис. 1 — область МОП конденсатора на тонком окисле толщиной $d_{\text{SiO}_2 \text{ тонк}} \leq 0,1 \text{ мкм}$ на квазинейтральном слое $n\text{-Si}$. Емкость этой области C_{II} вносит основной вклад в проходную емкость C_{sc} при небольших напряжениях

$$C_{\text{II}} = \frac{\epsilon_{\text{SiO}_2} \epsilon_0 X_{\text{МОПтонк}} \cdot \Pi_{\text{k}} / 2}{d_{\text{SiO}_2 \text{ тонк}}}. \quad (8)$$

С ростом напряжения сток-исток $U_{\text{си}}$ значение емкости $C_{\text{МОПтонк}}$ быстро убывает с уменьшением ширины $X_{\text{МОПтонк}}$, и станет равным 0 по достижении границы ОПЗ — $X_{\text{опз}}$ области III (см. рис. 1).

Область III — область МОП конденсатора с толстым окислом толщиной d_{SiO_2} на квазинейтральном слое $n\text{-Si}$. При малых напряжениях, емкость МОП конденсатора на толстом окисле C_{III} не зависит от напряжения $U_{\text{си}}$ и определяется выражением:

$$C_{\text{III}} = \frac{\epsilon_{\text{SiO}_2} \epsilon_0 l_{\text{SiO}_2 \text{ тонк}} \cdot \Pi_{\text{k}} / 2}{d_{\text{SiO}_2}}. \quad (9)$$

С ростом напряжения, когда граница ОПЗ — $X_{\text{опз}}$ достигнет области III, емкость

C_{III} начнет убывать с уменьшением эффективной ширины обкладки МОП конденсатора.

Просуммировав все составляющие проходной емкости C_{sc} , была рассчитана и построена зависимость проходной емкости C_{sc} от напряжения стока $U_{\text{си}}$ (рис. 2) на одно плечо для мощного (150 Вт) отечественного балансного МОП транзистора при значениях: $d_{\text{SiO}_2} = 1 \text{ мкм}$, $N_{dn} = 2 \cdot 10^{15} \text{ см}^{-3}$, $d_{\text{SiO}_2 \text{ тонк}} = 0,09 \text{ мкм}$, $r_{\text{co}} = 1,7 \text{ мкм}$, $\Pi_{\text{k}} = 49,6 \text{ см}$, $l_{\text{SiO}_2 \text{ толст}} = 4,5 \text{ мкм}$.

Расчет входной емкости C_{bx}

Измерение емкости C_{bx} (C_{iss}) производится между выводами затвор-исток при условии короткого замыкания по переменному току в цепи исток-сток, т.е. емкость C_{iss} закорочена.

$$C_{\text{bx}} = C_{\text{зи}} + C_{\text{sc}}. \quad (10)$$

Здесь емкость $C_{\text{зи}}$

$$C_{\text{зи}} = \frac{\epsilon_0 \cdot \epsilon_{\text{SiO}_2} (S_{n^+ \text{-канала}} + S_{\text{перекр. } n^+ \text{-областей}})}{d_{\text{SiO}_2 \text{ тонк}}} + C_{\text{зонт. площадок}}, \quad (11)$$

где

$$C_{\text{зонт. площадок}} = \frac{\epsilon_0 \cdot \epsilon_{\text{SiO}_2} (S_{n^+ \text{-канала}} + S_{\text{зонт. площадок}})}{d_{\text{SiO}_2 \text{ толст}}}. \quad (12)$$

$C_{\text{зонт.площадок}}$ — емкость затворных контактных площадок на толстом окисле над диффузионными p -областями, соединенными с p^+ -истоковыми ячейками.

Площадь канала — $S_{n^+ \text{-канала}} = \Pi_{\text{k}} \cdot l_{\text{k}}$, где Π_{k} — периметр канала, а $l_{\text{k}} (\approx 1 \text{ мкм})$ — длина канала.

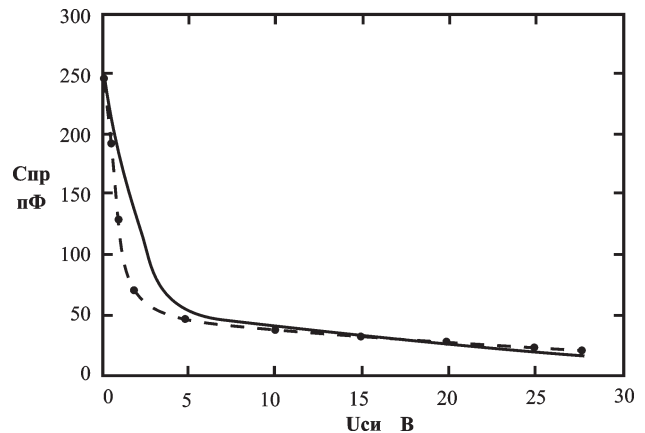


Рис. 2. Экспериментальная (пунктир) и теоретическая (сплошная линия) зависимости проходной емкости $C_{\text{пр}}$ от напряжения стока $U_{\text{си}}$

$S_{\text{перекр.}n^+ \text{-областей}}$ — площадь затвора, перекрывающего n^+ -области истока, находится из выражения $S_{\text{перекр.}n^+ \text{-областей}} = \Delta d_{\text{перекр.}n^+ \text{-областей}} \cdot \Pi_k$, где $\Delta d_{\text{перекр.}n^+ \text{-областей}}$ — ширина перекрытия n^+ -области затвором. В формуле (12) $S_{\text{зонт.площадок}}$ — площадь затворных контактных площадок, которая определяется исходя из топологических размеров затворной металлизации.

Таким образом, можно найти значение емкости $C_{\text{зи}}$

$$C_{\text{зи}} = \epsilon_0 \cdot \epsilon_{\text{SiO}_2} \left(\frac{S_{n^+ \text{-канала}} + S_{\text{перекр.}n^+ \text{-областей}}}{d_{\text{SiO}_2 \text{ тонк.}}} + \frac{S_{\text{зонт.площадок}}}{d_{\text{SiO}_2}} \right).$$

Зависимость входной емкости $C_{\text{вх}}$ на одно плечо от напряжения стока $U_{\text{си}}$ при значениях $S_{\text{зонт.площадок}} = 3,34 \cdot 10^{-3} \text{ см}^2$, $\Delta d_{\text{перекр.}n^+ \text{-областей}} = 0,4 \text{ мкм}$ была рассчитана по предложенной методике и построена на рис. 3.

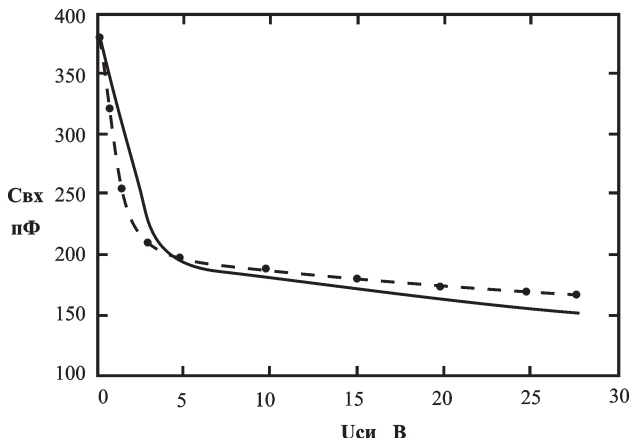


Рис. 3. Экспериментальная (пунктир) и теоретическая (сплошная линия) зависимости входной емкости $C_{\text{вх}}$ от напряжения стока $U_{\text{си}}$

Расчет выходной емкости $C_{\text{вых}}$

Выходная емкость $C_{\text{вых}} (C_{\text{oss}})$ измеряется между выводами исток-сток при условии короткого замыкания по переменному току между затвором и истоком. Поэтому

$$C_{\text{вых}} = C_{\text{ис}} + C_{\text{зс}} \quad (13)$$

В емкость $C_{\text{ис}}$ входят емкости: $C_{p^+-n^-}$ ($U_{\text{си}}$) — емкость p^+-n^- перехода исток-сток истоковых p^+ -ячеек и $C_{\text{и метал.}}$ — емкость истоковой металлизации на толстом окисле относительно n -стока.

В емкости C_{p^+-n} можно выделить емкости плоской и боковой части p^+-n перехода исток-сток:

$$C_{p^+-n} = C_{p^+-n \text{ плоск. части}} + C_{p^+-n \text{ бок. части}} = \frac{\epsilon_0 \cdot \epsilon_{\text{Si}} \cdot S_{\text{пл.}p^+-n}}{L_{p^+-n \text{ пл.}}(U_{\text{си}})} + \frac{\epsilon_0 \cdot \epsilon_{\text{Si}} \cdot S_{\text{бок.}p^+-n}}{L_{p^+-n \text{ бок.}}(U_{\text{си}})}, \quad (14)$$

где $S_{\text{пл.}p^+-n}$ — площадь плоского основания p^+ -истоковых ячеек, $S_{\text{бок.}p^+-n}$ — площадь боковых участков p^+ -истоковых ячеек.

Емкость истоковой металлизации вычисляется по формуле

$$C_{\text{и метал.}} = \frac{\epsilon_0 \cdot \epsilon_{\text{SiO}_2} \cdot S_{\text{и метал.}}}{d_{\text{SiO}_2 \text{толст.}}}, \quad (15)$$

где $S_{\text{и метал.}}$ — определяется исходя из топологических размеров истоковой металлизации.

Для емкости $C_{p^+-n \text{ бок. части}}$ более строго надо использовать формулу для цилиндрического конденсатора:

$$C_{p^+-n \text{ бок. части}} = \frac{1}{4} \cdot \frac{\epsilon_0 \epsilon_{\text{Si}} \cdot 2\pi \cdot z}{2 \cdot \ln \frac{r_c''(U_{\text{си}})}{r_c'(U_{\text{си}})}}, \quad (16)$$

где $z \approx \Pi_k$ — полная длина всех боковых участков, множитель $1/4$ учитывает тот факт, что боковые части p^+-n переходов представляет собой четверть цилиндра.

Поскольку выходная емкость измеряется при условии короткого замыкания по переменному току между затвором и истоком необходимо также учесть вклад емкостей C_I , C_{II} , C_{III} и $C_{\text{перекр.}n^+ \text{-областей}}$ в общую выходную емкость $C_{\text{вых}}$.

Зависимость выходной емкости $C_{\text{вых}}$ от напряжения стока $U_{\text{си}}$ изображена на рис. 4 при значениях $S_{\text{и метал.}} = 1,58 \cdot 10^{-2} \text{ см}^2$, $C_{\text{бок.части}} = 2,1 \cdot 10^{-2} \text{ см}^2$.

МЕТОДИКА ИЗМЕРЕНИЯ ЕМКОСТЕЙ

На рис. 5, 6 представлены электрические схемы, отражающие принцип измерения входной $C_{\text{вх}} = C_{11}$, проходной $C_{\text{зс}} = C_{12}$ и выходной $C_{\text{вых}} = C_{22}$ емкостей полевых транзисторов соответственно. Источник напряжения U обеспечивает требуемое напряжение питания. Измерение емкости проводится в два этапа.

На первом этапе (этап калибровки, ключ K — положение 2) тестовый сигнал от ген-

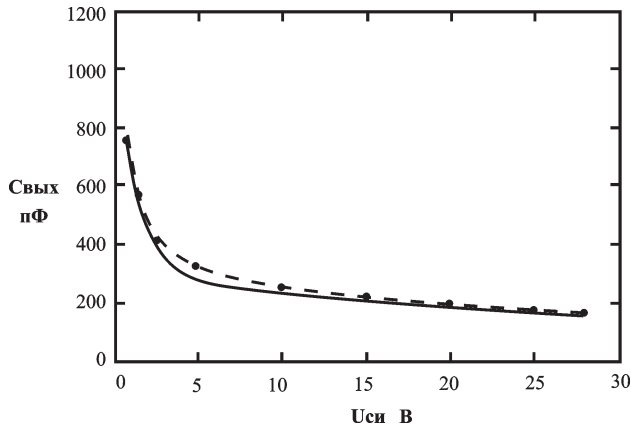


Рис. 4. Экспериментальная (пунктир) и теоретическая (сплошная линия) зависимости выходной емкости $C_{\text{вых}}$ от напряжения стока $U_{\text{си}}$

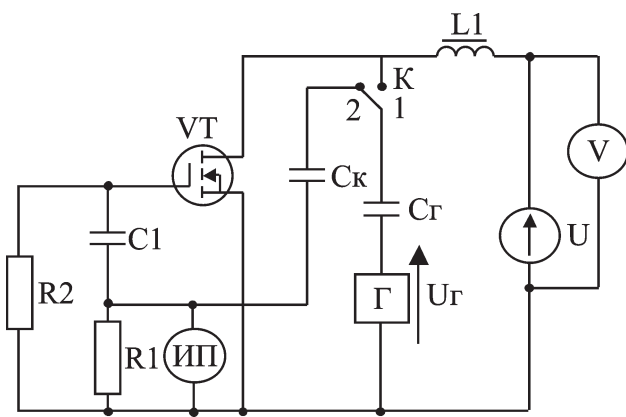
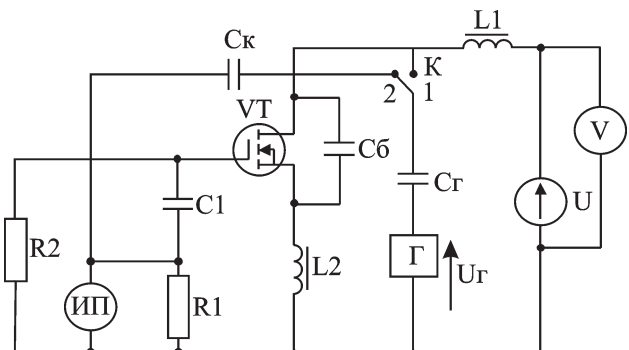


Рис. 6. Электрическая схема измерения проходной $C_{\text{вх}}$ и выходной $C_{\text{вых}}$ емкостей полевых транзисторов. C_1, C_r — разделительные конденсаторы; L_1 — дроссель; R_1, R_2 — резисторы; VT — измеряемый транзистор; Γ — генератор ($f = 1 \text{ МГц}$); U — источник напряжения; $ИП$ — измерители напряжения; K — переключатель

ратора через разделительный конденсатор C_r подается на делитель напряжения, в верхнем плече которого находится калибровочный конденсатор известной емкости C_k , а в нижнем — резистор R_1 , на котором измеряется падение напряжения U_k .

На втором этапе (этап измерения, ключ K — положение 1) тестовый сигнал от генератора через разделительный конденсатор C_r подается в стоковую цепь транзистора. При измерении входной емкости, выходная емкость шунтируется конденсатором C_b (см. рис. 5). При измерении выходной $C_{\text{вых}}$ и проходной $C_{\text{вх}}$ емкостей, входная $C_{\text{вх}}$ емкость шунтируется конденсатором C_1 (см. рис. 6).

Рис. 5. Электрическая схема измерения входной емкости полевых транзисторов. C_1, C_r — разделительные конденсаторы; C_b — блокировочный конденсатор; L_1, L_2 — дроссели; R_1, R_2 — резисторы; VT — измеряемый транзистор; Γ — генератор ($f = 1 \text{ МГц}$); U — источник напряжения; $V, ИП$ — измерители напряжения; K — переключатель

Таким образом, в делителе напряжения верхним плечом является измеряемая емкость C_x , нижним — резистор R_1 . Падение напряжения U_x измеряется на резисторе R_1 .

Напряжение U_g должно быть постоянным, номинал резистора R_2 1 МОм.

Номинал резистора R_1 выбирается из условия:

$$R_1 \leq \frac{0,01}{2\pi f C_x}. \quad (17)$$

Напряжение U_g для положений ключа 1 и 2 определяется выражениями (18) и (19) соответственно:

$$U_g = U_x + \frac{U_x}{R_1} X_x, \quad (18)$$

$$\text{где } X_x = \frac{1}{2 \cdot \pi \cdot f \cdot C_x},$$

$$U_g = U_k + \frac{U_k}{R_1} X_k, \quad (19)$$

$$\text{где } X_k = \frac{1}{2 \cdot \pi \cdot f \cdot C_x}.$$

Приравняв выражения (18) и (19), получим:

$$X_x = \frac{U_k}{U_x} X_k + R_1 \left(\frac{U_k}{U_x} - 1 \right). \quad (20)$$

Согласно (17), вторым слагаемым выражения (20) можно пренебречь, тогда измеряемая емкость определяется следующим образом:

$$C_x = \frac{U_k}{U_x} C_k. \quad (21)$$

Контактные устройства — сменные, соответствуют измеряемой емкости.

Погрешность измерений не превышает 10 %, что удовлетворяет требованиям ГОСТ20398.5-74 “Транзисторы полевые. Метод измерения входной, проходной и выходной емкостей”.

РЕЗУЛЬТАТЫ И ИХ ОБСУЖДЕНИЕ

В рассчитанные и измеренные зависимости емкостей $C_{\text{пр}}$, $C_{\text{вх}}$, $C_{\text{вых}}$ от напряжения стока $U_{\text{си}}$ приведены на рис. 2, 3, 4.

Из сравнения этих экспериментальных и рассчитанных кривых видно, что значения емкостей $C_{\text{пр}}$, $C_{\text{вх}}$, $C_{\text{вых}}$ совпадают с точностью до ~15 %, что считается удовлетворительным при проведении инженерных расчетов. Расхождение с экспериментальными значениями емкостей может быть обусловлено рядом причин. Под затворный окисел имеет полусферическую форму и неоднороден по толщине (рис. 1), а в расчетах использовалось приближение прямоугольной формы. Измерения емкостей при малых напряжениях ввиду больших значений этих емкостей имеют погрешность более 10 %. Таким образом, при малых напряжениях совпадение теоретических данных с экспери-

ментальными в области малых напряжений составляет ~15—20 %, а при напряжениях близких к $U_{\text{пит}}$ ~10—15 %.

По результатам проделанной работы можно сделать следующие выводы:

- в данной работе были получены простые формулы для расчета емкостей $C_{\text{вх}}$, $C_{\text{вых}}$, $C_{\text{пр}}$;

- совпадение теоретических данных с экспериментальными в области малых напряжений составляет ~15—20 %, а при напряжениях близких к $U_{\text{пит}} = 28 \text{ В}$ ~10—15 %, что является приемлемым при проведении инженерных расчетов;

- основным достоинством предложенной методики расчетов является отсутствие подгоночных эмпирических коэффициентов, что делает ее более универсальной;

- полученную методику можно использовать при проведении инженерных расчетов.

СПИСОК ЛИТЕРАТУРЫ

1. Проектирование и технология производства мощных СВЧ транзисторов / В. И. Никишин, Б. К. Петров, В. Ф. Сыноров и др. — М.: Радио и связь, 1989. — 144 с.

2. Петров Б.К., Меньшиков П.А., Николаенков Ю.К. Расчет малосигнальных параметров современных мощных МОП транзисторов СВЧ диапазона с вертикальной структурой // Материалы докладов VIII международной научно-технической конференции «Радиолокация, навигация, связь» том 3, Воронеж, 23—25 апреля 2002 г., С. 2037—2041.

3. Кремниевые планарные транзисторы / В. И. Никишин, В. Ф. Сыноров и др. Под ред. Я. А. Федотова — М.: Сов. Радио, 1973. — 336 с.